

О ПОТЕРЯХ ЧАСТИЦ ПРИ МНОГОКРАТНОМ ПРОХОЖДЕНИИ  
ПУЧКА ЧЕРЕЗ ТОНКУЮ МИШЕНЬ

В. Е. Пафомов, Ю. К. Хохлов

УДК 621.384.6

Убывание интенсивности пучка протонов циклотрона ИЯИ с энергией 480 кэВ при многократном прохождении через тонкую внутреннюю мишень вычисляется по методу Монте-Карло и в диффузионном приближении. При размере канала 2 см диффузионное приближение завышает потери более, чем в два раза.

Под многократным прохождением пучка частиц здесь подразумевается такой режим работы накопителя или изохронного циклотрона, при котором энергетические потери на тонкой внутренней мишени полностью компенсируются ускорением. В этом случае частицы пучка совершают колебания около замкнутой орбиты, энергия которой  $W$  на всех азимутах совпадает с энергией частиц пучка. Такая орбита называется равновесной орбитой многократного прохождения (РОМП). В отличие от обычной равновесной орбиты, энергия которой не зависит от азимута, энергия РОМП является кусочно-постоянной функцией азимута. Бетатронные колебания произвольной частицы пучка относительно РОМП описываются уравнениями вида

$$d^2x/d\vartheta^2 + g_x(\vartheta)x = 0, \quad d^2z/d\vartheta^2 + g_z(\vartheta)z = 0, \quad (1)$$

в которых  $g_{x,z}(\vartheta)$  — известные функции;  $x, z$  — нормальные отклонения частицы в горизонтальном и вертикальном направлениях;  $\vartheta$  — обобщенный азимут  $|I|$  такой, что  $ds = K_0 d\vartheta$ ;  $s$  — длина пути вдоль РОМП;  $K_0$  — средняя кривизна РОМП.

Распыление пучка и потери частиц вызываются многократным кулоновским рассеянием на электронах атомных оболочек, флуктуациями энергетических потерь  $\Delta W$ , отклонениями от изохронности и другими факторами. Здесь рассматривается только первая причина, поскольку в интересующих нас физических условиях она является преобладающей. Два дополнительных упрощения состоят в том, что начальный размер пучка принимается равным нулю и рассматривается распыление пучка только в наиболее опасном вертикальном направлении.

Используется цилиндрическая система координат  $r, \varphi, z$ . Входная плоскость мишени дается в этой системе уравнением  $\varphi = \varphi_M$ . Вводится фазовая плоскость  $z, z'$ , соответствующая  $\varphi = \varphi_M$ . (Штрих означает производную по  $\vartheta$ .) Каждое  $n$ -ое прохождение частицы через мишень изображается на плоскости  $z, z'$  точкой с координатами  $z_n, z'_n$ . Перейдем к нормализованным координатам, переобозначив

$$z_n \rightarrow z_n / \rho_z, \quad z'_n \rightarrow z'_n / \rho_z - z_n \rho'_z. \quad (2)$$

Здесь  $\rho_z$  — значение модуля отгибающей на азимуте  $\varphi_M$ ;  $\rho'_z$  — аналогичное значение производной по  $\vartheta$ . Изменение  $z_n, z'_n$  за один оборот дается формулой

$$\begin{aligned} z_{n+1} &= z_n \cos \sigma + z'_n \sin \sigma, \\ z'_{n+1} &= -z_n \sin \sigma + z'_n \cos \sigma + (1 - 2\lambda) z'_n + \rho_z R_0 \Theta, \end{aligned} \quad (3)$$

где  $\sigma = 2\pi Q_z$ ;  $Q_z$  — бетатронная частота;  $\lambda = \Delta p / 2p$  — декремент затухания бетатронных колебаний, связанный с торможением в мишени трением;  $\Delta p / p = \Delta W / 2W$ ;  $\Delta W > 0$  — модуль изменения энергии частицы на мишени;  $R_0 = K_0^{-1}$ ;  $\Theta$  — угол рассеяния в вертикальной плоскости, для которого примем гауссов закон распределения

$$f(\Theta) = (2\pi \langle \Theta^2 \rangle)^{-1/2} \exp \left[ -\Theta^2 / 2 \langle \Theta^2 \rangle \right]. \quad (4)$$

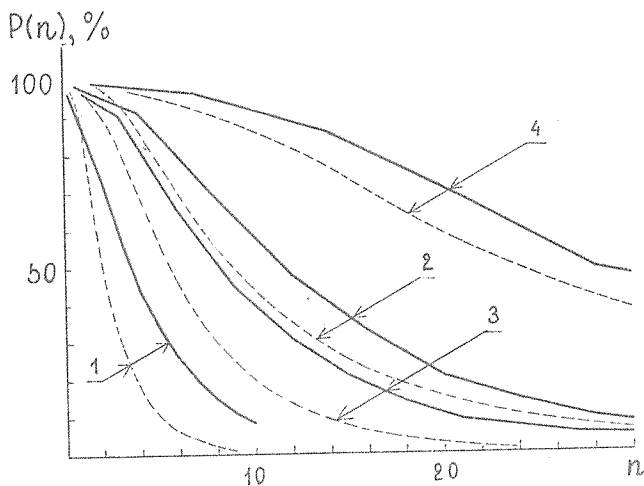
Величина  $\langle \theta^2 \rangle$  вычисляется по формуле /2/

$$\langle \theta^2 \rangle = (21Z_1/2W)^2 X/2X_0, \quad (5)$$

в которой  $Z_1$  - заряд частицы, деленный на  $e$ ;  $X$  - толщина мишени;  $X_0$  - радиационная длина вещества мишени.

Область допустимых  $z$  ограничена прямыми  $z = \pm L/2\rho_z$ , где  $L$  - вертикальный размер канала в месте нахождения мишени; подразумевается, что в других местах размер канала существенно больше.

Метод Монте-Карло. Траектория каждой из  $N$  частиц пучка прослеживается численно с помощью рекуррентной формулы (3) от рождения в точке  $z = 0$ ,  $z' = 0$  до выхода из области допустимых  $z$ . На каждом шаге от  $n$  к  $n+1$  отклонение  $\theta$  генерируется как случайное число, подчиняющееся распределению (4).



Р и с. 1.  $P(n)$  - процент частиц, уцелевших к  $n$ -му обороту, сплошные линии - расчет по Монте-Карло, штриховые линии - диффузионное приближение. 1 -  $X = 80$  мкг/см<sup>2</sup> ( $\Delta W = 19$  кэВ),  $L = 2$  см; 2 - то же при  $L = 4$  см; 3 -  $X = 30$  мкг/см<sup>2</sup> ( $\Delta W = 7,125$  кэВ),  $L = 2$  см; 4 - то же при  $L = 4$  см

Из полученных данных извлекается функция  $P(n)$  — процент частиц, уцелевших к  $n$ -му обороту.

Значения параметров задачи берутся применительно к изохронному циклотрону ИИИ /3/:  $Z_1 = 1$ ,  $W = 480$  кэВ,  $\rho_z = 1,118$ ,  $R_0 = 25$  см,  $Q_z = 0,7$ ,  $X_0(\Delta L_2 O_3) = 40$  г/см<sup>2</sup>. Результаты вычислений изображены на рис. 1 сплошными линиями.

Диффузионное приближение. Вводится функция распределения  $w(n, z, z')$ , удовлетворяющая уравнению диффузии

$$\frac{\partial w}{\partial n} = \left[ \frac{a^2}{2} \left( \frac{\partial^2}{\partial z^2} + \frac{\partial^2}{\partial z'^2} \right) + \lambda \left( \frac{\partial}{\partial z} z + \frac{\partial}{\partial z'} z' \right) \right] w,$$

$$a^2 = \rho_z^2 v_0^2 \langle \Theta^2 \rangle / 2$$

и начальному условию  $w(0, z, z') = \delta(z)\delta(z')$ . Делаются два упрощения: граница в виде окружности радиуса  $L/2$  заменяется квадратом со стороной  $L$ , и точный учет затухания заменяется приближенным по методу эффективного числа оборотов /4/. После этого задача допускает несложное аналитическое решение. В итоге для  $P(n)$  получается результат в виде

$$P(n) = 100 \left\{ \sum_{k=0}^{\infty} \left[ \frac{e^{-\alpha(4k+1)^2 \gamma}}{4k+1} - \frac{e^{-\alpha(4k+3)^2 \gamma}}{4k+3} \right] \right\}^2,$$

$$\gamma \equiv \gamma(n) = (1 - e^{-2\lambda n}) / 2\lambda, \quad \alpha = (\pi \rho_z^2 v_0 / 2L)^2 \langle \Theta^2 \rangle.$$

Сравнение результатов точного (Монте-Карло) и приближенного (диффузионного) расчетов показывает, что диффузионное приближение значительно завышает потери частиц. В худшем случае (кривая I на рис. 1), ошибка диффузионного приближения превосходит 100% (при круглой границе расхождение с точным расчетом было бы еще больше). При увеличении  $L$  или уменьшении  $X$  точность диффузионного приближения, как это и должно быть, постепенно возрастает. Затухание во всех случаях оказывается малым эффектом.

Поступила в редакцию  
14 апреля 1983 г.

## Л и т е р а т у р а

1. А. А. Коломенский, А. Н. Лебедев, Теория циклических ускорителей, Физматгиз, М., 1962 г.
2. Б. Росси, Частицы больших энергий, Гостехиздат, М., 1955 г.
3. В. А. Гладышев и др., Атомная энергия, 19, № 5, 442 (1965).
4. Б. К. Хохлов, Препринт ИЯИ АН СССР П-0007, 1975 г.

Институт ядерных исследований АН СССР.